

# Методики рентгенологического обследования

Все лучевые методы исследования дополняют друг друга, однако разработанный нами алгоритм исследования предполагает использование классической рентгенографии как ведущего метода, с которого начинается комплексное лучевое обследование больного. В последние годы приоритетными в использовании являются методы цифровой рентгенографии. Прямыми преимуществом цифровых систем является способность обрабатывать изображения в целях оптимизации воспроизведения цифровых данных (субтракция изображения, краевое усиление), возможность управления изображениями. Цифровые изображения можно архивировать, передавать по компьютерным сетям, в том числе на дальние расстояния.

Рентгенологическое обследование пациента начинается с выполнения стандартной двухпроекционной рентгенографии в прямой и боковой проекциях (рис. 3).

Кроме того, могут использоваться нестандартные укладки (при вынужденном положении пораженной конечности), прицельная рентгенография или аксиальные проекции, в том числе под контролем рентгеновского аппарата с электронно-оптическим преобразователем (после внешнего или внутреннего металлоостеосинтеза).

При функционирующих свищах выполняется фистулография. Тугое наполнение свищевого хода контрастным препаратом позволяет получить плоскостную картину местоположения и направления всех его разветвлений и затеков, установить их связь с очагами деструкции, инородными телами, секвестрами (рис. 4).

Необходимо отметить, что разрешающая способность классической рентгенографии в изучении мягкотканых структур, глубоко расположенных анатомических зон невысока. Однако рентгенография остается методом первичного обследования и динамического наблюдения при лечении больных остеомиелитом. Показаниями для проведения динамического рентгенологического исследования являются: обострение процесса, оценка динамики сращения перелома, контроль дистракционного остеогенеза.



337

**Рис. 3. Хронический посттравматический остеомиелит правой бедренной кости, обострение процесса, свищевая форма.**

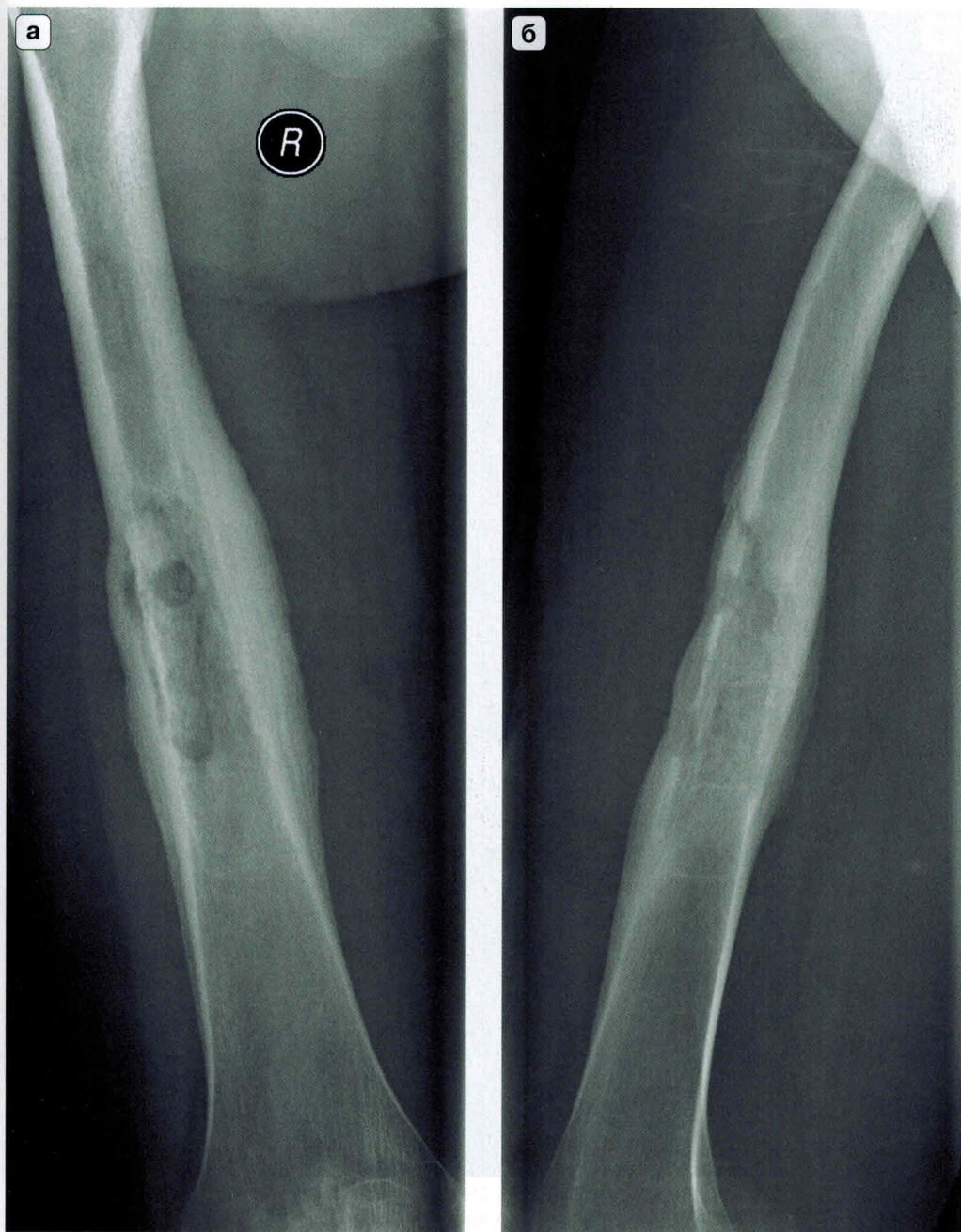
**а – рентгенография правого бедра в прямой и боковой проекциях.**

Ось правой бедренной кости дугообразно изогнута. Кортикальный слой диафиза слоистого характера, неравномерно утолщен за счет слившимся пери- и эндостальных наслойений. В средней трети бедра избыточная костная мозоль неправильной ве- ретенообразной формы. В проекции мозоли костномозговой канал не прослежива- ется. Структура костной ткани неоднородна, с наличием очага деструкции округлой формы, расположенного интраканально и открывающегося по наружной поверхно- сти кости в виде свищевого хода, распространяющегося в мягкие ткани. Прилежащие мягкие ткани увеличены в объеме, неоднородны по структуре, с единичными хлопье- образными включениями. По задней поверхности дистального конца бедренной кос- ти, выше и латеральнее межмыщелковой линии определяется аналогичный участок деструкции, переходящий в дефект покровной пластинки по заднелатеральной по- верхности кости. Прилежащие мягкие ткани неоднородны по структуре.



**Рис. 3 (окончание). б – состояние после интрамедуллярного остеосинтеза правой бедренной кости по поводу оскольчатого перелома средней трети диафиза, начальные признаки формирования костной мозоли. Динамическое наблюдение.**

На рентгенограммах правого бедра, выполненных в двух стандартных проекциях, ось бедренной кости сохранена. В проекции костномозгового канала – интрамедуллярный штифт с 4 блокирующими винтами. На уровне средней трети диафиза бедренной кости – линия перелома. В проекции перелома визуализируются нежные пери- и эндостальные наслойения. В парооссальных мягких тканях на уровне перелома мелкие костные фрагменты. Резорбции в зоне проведения металлоконструкции не отмечается. Мягкие ткани исследуемой области не изменены.



**Рис. 4. Хронический гематогенный остеомиелит правой бедренной кости, обострение, свищевая форма.**

**а, б – двухпроекционная рентгенография в стандартных проекциях.**



**Рис. 4 (продолжение).**

**в, г** – фистулография в стандартных проекциях: контрастный препарат сполохово-видно распределяется в параоссальных мягких тканях передненаружного отдела бедра, распространяясь через дефект кортикального слоя в деструктивную полость, расположенную в диафизе.



Рис. 4 (продолжение).

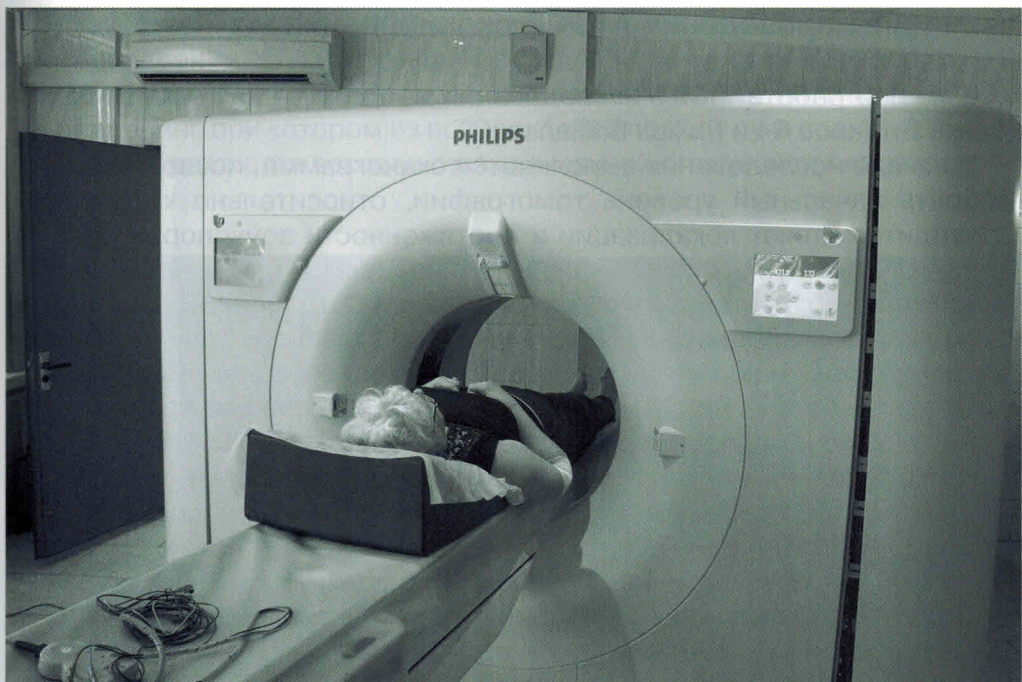
**Хронический посттравматический остеомиелит правой бедренной кости, многоэтапное лечение, обострение: инфильтрат мягких тканей переднелатерального отдела нижней трети правого бедра.**

МСКТ: д – серия аксиальных сканов; е – фронтальная реконструкция.

Структура широкой латеральной мышцы бедра в дистальном сегменте неоднородная: волокна разрыхлены, в центрально-наружном отделе участок пониженной плотности неправильной формы, прослеживаемый к поверхности в виде тонкого свищевого хода. Подлежащая клетчатка фиброзно уплотнена, с мелкими включениями жидкости, кожа утолщена до 5 мм. Протяженность изменений 5 см, сагittalный размер 6 см.



**Рис. 4 (окончание).** При введении в свищевой ход контрастного препарата последний распространяется кпереди, скапливаясь в виде двух депо с соусьем, размерами  $37 \times 19 \times 31$  мм и  $7 \times 12 \times 19$  мм – в подкожно-жировой клетчатке переднелатерального отдела нижней трети бедра. В полости затека включения воздуха.



**Рис. 5.** Укладка пациента при МСКТ: конечности находятся в свободном положении.

КТ позволяет получить изображение пораженной конечности в третьей: поперечной (аксиальной) проекции. По сути, имеется принципиальная возможность оценки классических рентгенологических симптомов остеомиелита в новом их качестве, при поперечном рентгенологическом исследовании кости с последующей компьютерной обработкой данных.

При КТ рентгеновская трубка вращается вокруг тела пациента, перпендикулярно его оси. Положение пациента на столе томографа горизонтальное. КТ-исследование не предусматривает строгого позиционирования конечности (относительно выпрямленная конечность находится в свободном положении). Таким образом, в отличие от рентгенологического исследования при выраженному болевом синдроме КТ проводится в щадящем для больного положении (рис. 5).

## Принципы проведения МСКТ-сканирования

В нашей работе МСКТ-исследования выполнены на томографах Philips Brilliance 64 и Philips Brilliance iCT.

В начале исследования выполняется сканограмма, позволяющая выбрать начальный уровень томографии, относительно которого проводится отсчет локализации и протяженности зоны поражения. Для удобства используют уровень рентгеновской суставной щели близлежащего сустава (рис. 6). При распространенном гноино-деструктивном процессе зона сканирования охватывает два близлежащих к пораженной кости сустава. Положение пациента: в большинстве случаев – на спине, однако допустимы любые вариации, учитывающие комфортность положения конечности для пациента.

При спиральном сканировании подвижная часть гентри компьютерного томографа во время исследования непрерывно вращается с постоянной скоростью в одном направлении, стол также совершает непрерывное движение в заданном направлении, перемещая пациента от начала зоны сканирования до ее окончания. Полный набор спиральных проекционных данных по всему исследуемому объему получается путем соответствующего расчета скорости вращения гентри, перемещения стола и толщины выделяемого слоя. Величина поля сканирования обязательно включает захват близлежащих мягких тканей.

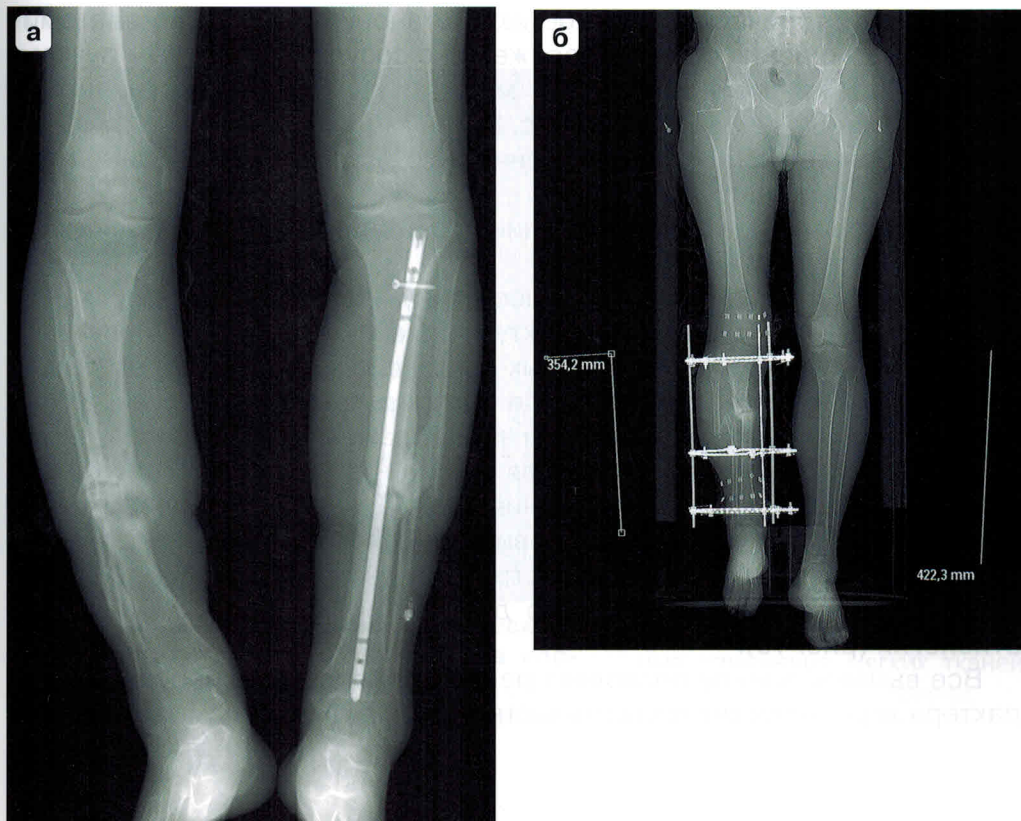
### Параметры исследования:

- ток на трубке – 120 кВ, 300/356 мАс (при использовании программ функции подбора дозы данная величина будет рассчитываться автоматически);
- колимация слоя – 0,5–0,625;
- индекс реконструкции – 0,9 мм/0,45 мм. Стандарная реконструкция предполагает два автоматических режима: в мягкотканном и костном окнах с использованием соответствующих фильтров;
- модуляция дозы: применяется;
- используются жесткие, мягкие фильтры.

Различные комбинации данных параметров определяют временное и пространственное разрешение, лучевую нагрузку, качество изображения: соотношение сигнал/шум.

При просмотре полученных изображений используется режим многоплоскостной реконструкции (МПР), включающий аксиальные, ортогональные (фронтальные и сагиттальные) изображения, в том числе реконструкцию в наклонной и криволинейной плоскостях.

В качестве наглядной визуализации используется 3D-реконструкция. При проведении КТ-ангиографии сосудов конечностей целесообразно применение MIP-проекций (проекций максимальных интенсивностей): 3D-рендеринг, при котором из всех вокселей по ходу луча зрения выбираются и отображаются воксели с максимальной оптической плотностью.



**Рис. 6. а – сканограмма костей обеих голеней: позволяет рассчитать начальный уровень исследования и его протяженность.**

**б – состояние после многоэтапного хирургического лечения по поводу хронического посттравматического остеомиелита костей правой голени. Повторная хирургическая обработка, концевая резекция смежных костных фрагментов правой большеберцовой кости. Аппарат внеочагового остеосинтеза.**

Измерение длины конечностей. Деформации таза в положении лежа нет. Правое бедро – 50,3 мм, правая голень – 35,4 мм. Левое бедро – 50,0 мм, левая голень – 42,2 мм. Укорочение правой нижней конечности составляет 7,1 см.